

بررسی مشخصات آیرودینامیکی موشک‌های بالک‌خمیده ما فوق صوت با استفاده از شبیه‌سازی عددی و آزمایش تونل باد

محمد رضا سلطانی (دانشیار)
دانشکده‌ی مهندسی هوافضا
بیژن فرهانیه (دانشیار)
حمید فاضلی (دانشجوی دکتری)
دانشکده‌ی مهندسی مکانیک، دانشگاه صنعتی شریف
علیرضا داوری
عضو هیأت علمی دانشگاه آزاد اسلامی، واحد علوم و تحقیقات

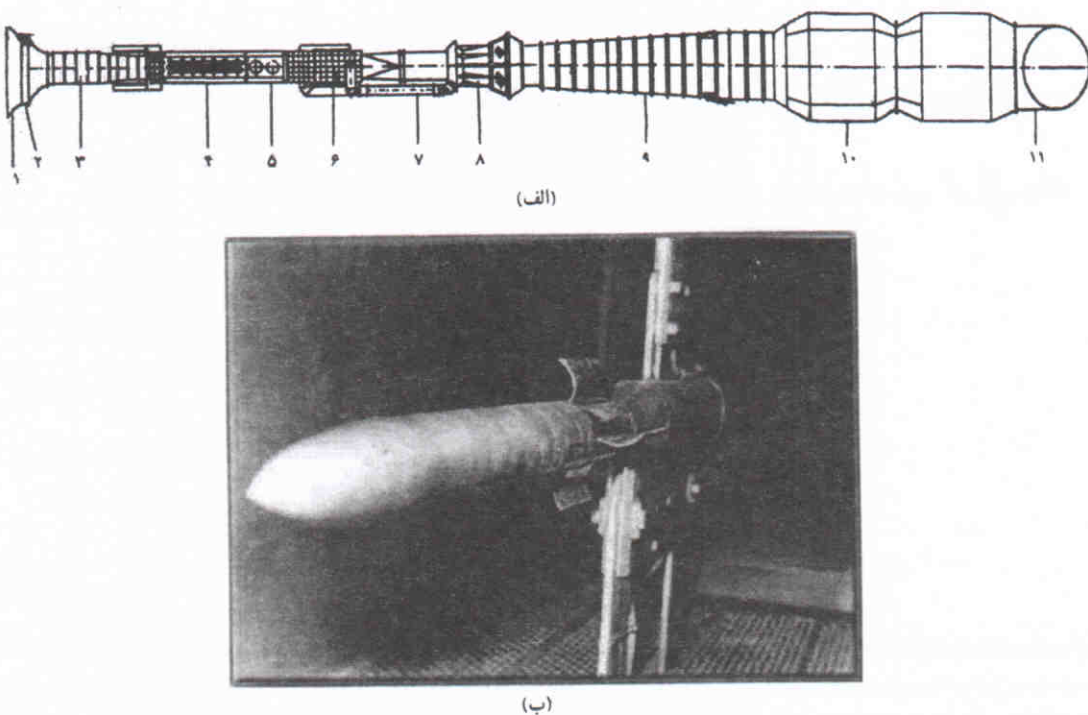
به منظور مطالعه‌ی رفتار آیرودینامیکی راکت‌های بالک‌خمیده، برای نخستین بار در کشور برنامه‌یی جامع شامل آزمایش‌های متعدد تدارک دیده شده است. در مرحله‌ی اول یک مدل استاندارد در تونل باد ما فوق صوت دانشگاه امام حسین (ع) که دارای سطح مقطع کاری به ابعاد 6×6 سانتی‌متر مربع است در اعداد مах $M_{\infty} = 2/4$ و زوایای حمله $\alpha = 10^\circ \leq \alpha \leq 40^\circ$ مورد آزمایش قرار گرفته است. نتایج این آزمایش‌ها که شامل تعیین ضرایب طولی راکت است با نتایج به دست آمده از یک برنامه‌ی رایانه‌یی و نیز نتایج یک آزمایش مشابه در مرکز ناسا (NASA) مقایسه شده است. این مقایسه نشان می‌دهد که آزمایشات انجام شده از دقت نسبتاً خوبی برخوردار است. برای آنالیز عددی موشک یک کد عددی در دست توسعه است و به زودی آماده می‌شود.

بالک‌هاست. نیروهای آیرودینامیکی ایجاد شده توسط بالک‌های خمیده — برخلاف بالک‌های تخت — نسبت به محورهای پیچشی، چرخشی و جانبی متقارن نیستند که پیش‌بینی آنها بسیار مشکل و در بعضی مواقع غیر ممکن است. وجود گشتاور چرخشی و نیروی جانبی بسیار کوچک در زاویه‌ی حمله‌ی صفر سبب می‌شود که آزمون این موشک‌ها در تونل‌های باد ساعت‌ها به طول انجامد. بعضی از مشکلات آیرودینامیکی این موشک‌ها عبارت اند از:
۱. تغییر جهت گشتاور چرخشی در ناحیه‌ی گذر صوتی؛
۲. تغییر جهت گشتاورهای چرخشی و جانبی در محدوده‌ی کوچکی از سرعت‌های ما فوق صوت ($M_{\infty} = 4/5 - 4/7$)؛
۳. عدم تقارن نیروهای آیرودینامیکی نسبت به محورها؛
۴. ادغام گشتاورهای جانبی و چرخشی؛
۵. ناپایداری دینامیکی براثر نیروی جانبی و ادغام گشتاورهای جانبی و پیچشی.

مشخصات آیرودینامیکی بالک‌های خمیده، به ویژه در صفحات عرضی، منحصر به فردند. تلاش‌های گسترده‌یی برای توجیه رفتارهای غیرعادی و پیش‌بینی نشده که در بالا به آنها اشاره شد به عمل آمده است.^[۱۶-۲] سازوکار ایجاد گشتاورهای چرخشی و جانبی در زوایای

مقدمه
«بالک‌خمیده»^۱ معمولاً به سطوح خمیده‌یی اطلاق می‌شود که در اشیاء پرنده به عنوان «سطح پایدارکننده» یا «سطح کنترلکننده» کاربرد دارند. شعاع انحنای این بالک‌ها برابر شعاع انحنای بدنی موشک است و تا قبل از بازشدن کاملاً به دور بدن می‌پیچد. این بالک‌ها، به دلیل بسته‌بندی کم‌حجم و حمل وقل آسان‌تر، به طور گسترده در موشک‌هایی که از داخل لوله پرتاب می‌شوند مورد استفاده قرار می‌گیرند. طراحی سکوهای نگهدارنده و شلیک‌کننده موشک‌ها در زیر بدنی هواپیما و هلی‌کوپترهای جنگنده با استفاده از این بالک‌ها آسان‌تر شده و پیچیدگی‌های تماس بالک-بدنه به شدت کاهش می‌یابد. پس از شلیک موشک و جداشدن از سکوی پرتاب، بالک‌های خمیده باز می‌شوند. میزان پیچیدگی موشک‌های بالک‌خمیده به تدریج از راکت‌های ساده تا موشک‌های هدایتشونده افزایش می‌یابد.

ثابت شده است که در ترکیب خاصی از بدنه-دم-بالک، پرواز موشک با بالک بسته به کاهش قابل توجه نیروی پسا می‌انجامد. در چنین موشک‌هایی، به منظور افزایش قابلیت مانور در مرحله‌ی پایانی پرواز بالک‌ها باز می‌شوند و این یکی از ویژگی‌های مثبت این



شکل ۱. تونل باد سه‌منظوره، ساخت دانشگاه امام حسین(ع): (الف) شماتیک تونل باد، (ب) مدل استاندارد و مقطع کاری TTCP.

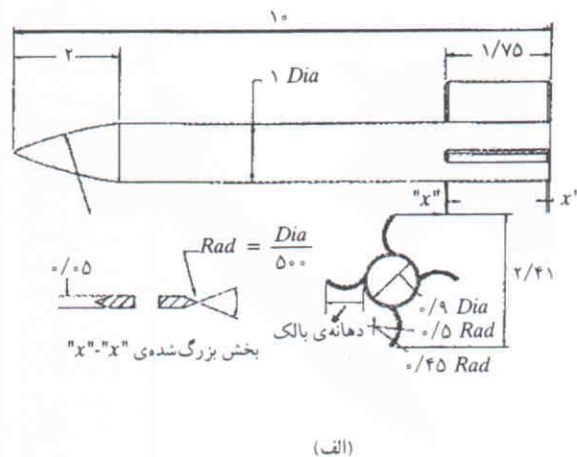
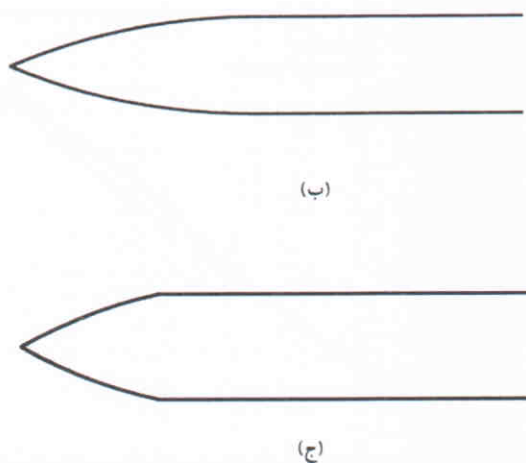
۱. ورودی: جهت هدایت هوای محیط به داخل تونل.
۲. لانه‌زنبوری: برای از بین بردن اغتشاشات هوای ورودی و ایجاد جریان موازی و یکنواخت.
۳. محفظه‌ی آرامش: به منظور کاهش اغتشاشات جریان هوای در داخل مقطع آزمایش.
۴. شبیوره‌ی همگرا-واگرا: برای ایجاد جریان با عده‌های ماخ مورد نظر در داخل مقطع آزمایش. این شبیوره از دو صفحه‌ی فولادی انعطاف‌پذیر تشکیل شده است و عدد ماخ مورد نظر در مقطع کاری از طریق جک‌هایی که به روش دستی تنظیم می‌شوند به دست می‌آید. در محدوده‌ی $0/9 \leq M_{\infty} \leq 4/0$ نیاز به تغییر دیواره‌های شبیوره نیست و عدد ماخ مورد نیاز با استفاده از تغییر دور موتور حاصل می‌شود.
۵. مقطع آزمایش: مقطع آزمون این تونل دارای ابعاد $560 \times 60 \times 140$ سانتی‌متر است. دیواره‌های بالا و پایین این مقطع برای حذف اثرات لایه‌ی مرزی و نیز جلوگیری از انکاس موج ضربه‌یی، متخلف ساخته شده است. نسبت سطح تخلخل به سطح کل، متناسب با رژیم جریان، قابل تغییر است. در دو دیواره‌ی جانبی مقطع آزمایش، دریچه‌هایی متحرک و شفاف به منظور نصب مدل در داخل تونل و مشاهده مدل یا جریان روی مدل با استفاده از تجهیزات آشکارساز جریان تعییه شده است. در داخل مقطع آزمایش، سیستم تغییرات زاویه‌ی حمله که به وسیله‌ی رایانه قابل کنترل است، قادر

حمله‌ی بسیار کم به دلیل کوچک‌بودن آنها به خوبی قابل لمس نیست و نتایج به دست آمده در تونل‌های باد مختلف با یکدیگر متفاوت است. به همین دلیل تا مدت‌های زیادی تصور می‌شد که روش‌های عددی قادر به پیش‌بینی رفتارهای غیرعادی بالک‌های خمیده نیست و عقیده بر این بود که تنها ابزار قابل اعتماد در طراحی بالک‌های خمیده در رژیم‌های موردنظر آزمایش‌های تونل باد است. براین اساس، در سال ۱۹۶۹ یک برنامه‌ی تحقیقات بین‌المللی موسوم به «برنامه‌ی همکاری تکنیکی» (TTCP) با همکاری آمریکا، انگلیس، کانادا و استرالیا آغاز شد. این برنامه‌ی جامع شامل آزمون یک موشک استاندارد با بالک‌های خمیده‌ی مختلف در تونل‌های باد متعدد و در اعداد ماخ، رینولدز و زوایای حمله‌ی گوناگون است و بعضی از نتایج آن در منابع ذکر شده است.^[۱]

از آنجاکه نتایج TTCP موشک‌های مختلف را پوشش نمی‌دهد، برنامه‌ی جامع برای آنالیز این نوع موشک‌ها به روش تجربی و عددی و با استفاده از امکانات داخلی فراهم شده است که برخی از نتایج در این مقاله ارائه خواهد شد.

تونل باد

شکل ۱ نشان‌دهنده‌ی یک تونل باد سه‌منظوره و از نوع مکنده است که توسط دانشگاه امام حسین(ع) طراحی شده است. اجزای تشکیل‌دهنده‌ی این تونل عبارت است از:



شکل ۲. (الف) مدل استاندارد TTCP؛ (ب) دماغه‌ی مماسی اجایو؛ (ج) دماغه‌ی سکانتی اجایو.

نیروها و گشتاورهای حاصله در مقایسه با نتایج موجود می‌انجامد. در شکل‌های ۲-ب و ۲-ج این دماغه‌ها با هم مقایسه شده‌اند. همان‌طور که در مقدمه ذکر شد، نتایج آزمون این مدل که در تونل‌های باد مرکز تحقیقات ناسا و دیگر کشورهای دنیا انجام شده است همراه با تحلیل‌های CFD در دسترس است. بنابراین با آزمایش این مدل در تونل باد دانشگاه امام حسین (ع) و مقایسه با نتایج موجود، می‌توان اطلاعات اولیه‌ی پیرامون کیفیت جریان در داخل تونل به دست آورد.^[۱۵]

نتایج آزمایش

در کلیه‌ی آزمایش‌های انجام شده در تونل باد سه منظوره‌ی دانشگاه امام حسین (ع)، به‌وسیله‌ی برداخت اطلاعات^۳ شاترده کاناله نتایج خروجی از بالانس ثبت و ضبط شده است. هر نقطه‌ی نشان داده شده روی منحنی میانگین ۱۰۰ تا ۲۰۰ نمونه است.

شکل ۳ تغییرات ضربی نیروی عمودی (CN) با زاویه‌ی حمله را در عدد ماخ ۲ و رینولدز 16×10^6 برای مدل TTCP نشان می‌دهد. در این شکل نتایج حاصل از آزمایش‌های کنونی با نتایج به دست آمده در منابع دیگر^[۱۶] مورد مقایسه قرار گرفته است. اختلاف مشاهده شده ناشی از دقت ساخت مدل مورد آزمایش است که با مدل استاندارد اختلاف انگکی دارد. همچنین نوع دماغه‌های این دو مدل نیز با هم متفاوت است. در ساخت مدل بعدی TTCP از دستگاه‌های تراش پیشرفته استفاده شده است و انتظار می‌رود که این اختلافات نیز از بین بروند. ضمناً کیفیت جریان در تونل باد دانشگاه امام حسین که یک تونل مکنده است، با کیفیت و شرایط جریان در تونل‌های دمنده متفاوت است.^[۱۷] احتمالاً برخی از اختلافات ناشی از کیفیت و شرایط جریان و مدل است.

است مدل رادر زوایای حمله $24^\circ \leq \alpha \leq 30^\circ$ قرار دهد.

۶. دیفیوزر اول: برای کاهش سرعت جریان و بهبود کارآیی.

۷. لوله‌ی هم‌فشار: به منظور ایجاد مکش در مقطع آزمایش در حالت گذر صوتی و همچنین بهبود کارآیی دیفیوزر.

۸. انژکتور: برای تأمین هوای مورد نیاز موتور در سرعت مأمور صوت.

۹. دیفیوزر دوم: برای کاهش سرعت و ایجاد فاصله‌ی مناسب به منظور مخلوط شدن هوای ورودی از انژکتور و دیفیوزر اول.

۱۰. موتور جت: از نوع موتور هوایپیما.

۱۱. هادی گاز خروجی: به منظور انتقال گازهای خروجی به محیط.

تجهیزات

تجهیزات تونل در موقع آزمایش عبارت بود از:

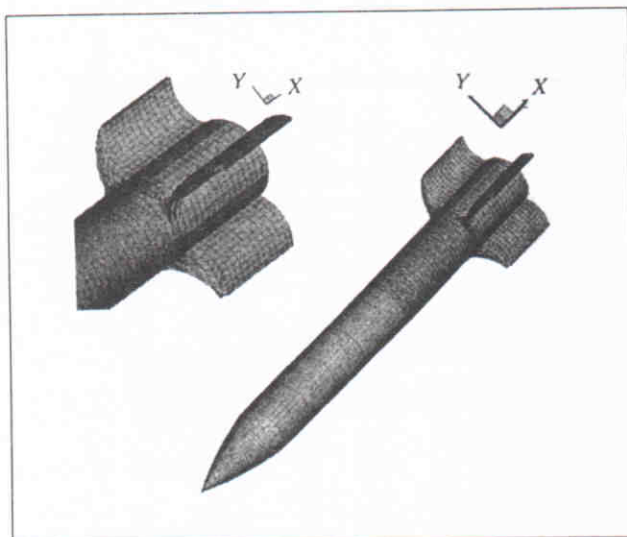
— تعدادی بالانس سه‌مولفه به منظور اندازه‌گیری نیروهای برآ، پسا، جانبی و گشتاورهای پیچشی و جانبی.

— مانومتر جیوه‌ی چندشاخه برای اندازه‌گیری توزیع فشار روی مدل یا قسمت‌های مختلف تونل.

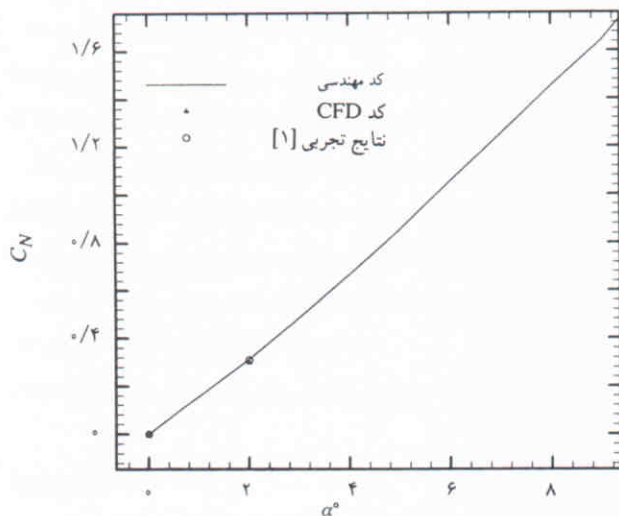
در حال حاضر تجهیزات این تونل به صورت چشمگیری ارتقاء یافته‌اند. همچنین امکانات لازم برای انجام آزمون دینامیکی نیز فراهم شده است.

مدل مورد آزمایش

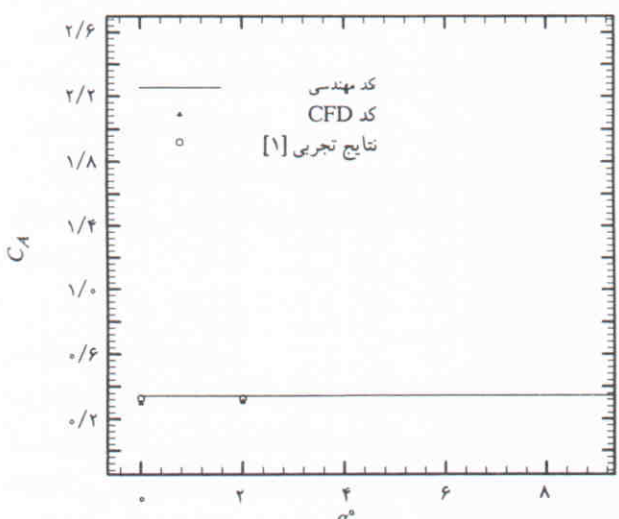
در شکل ۲-الف مدل مورد آزمایش به صورت شماتی نشان داده شده است. تفاوت عمده‌ی مدل ساخته شده در ایران با مدل استاندارد TTCP در نوع دماغه‌ی آنهاست. مدل ساخته شده دارای دماغه‌ی اجایو (Ogive) از نوع مماسی است. ولی نمونه‌ی استاندارد دارای دماغه‌ی اجایو از نوع سکانت است. این نکته به بروز تفاوت‌هایی در



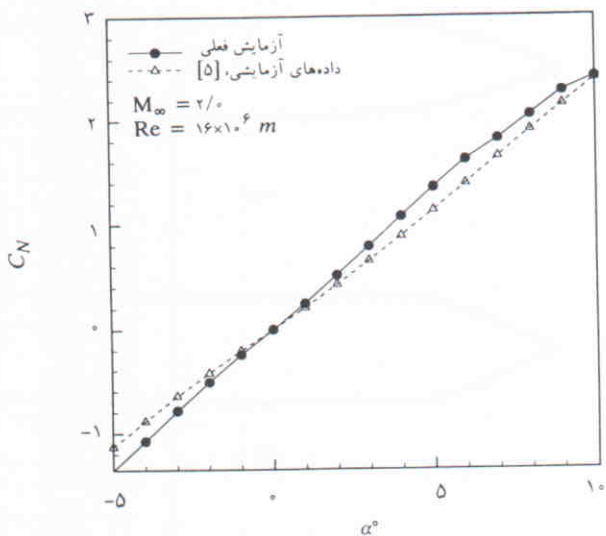
شکل ۶. شبکه‌بندی روی TTCP در روش عددی.



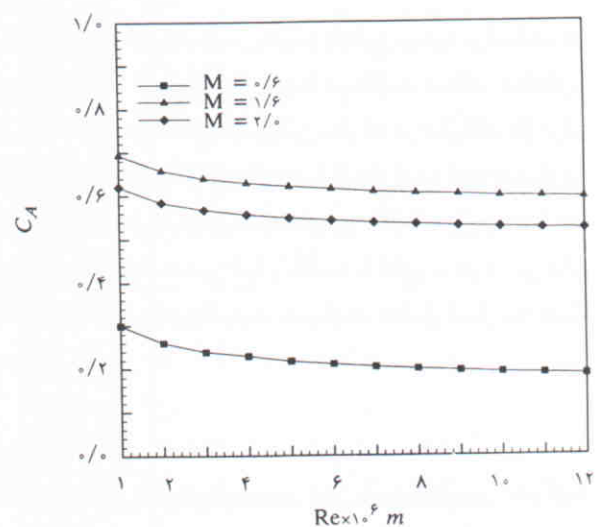
شکل ۷. تغییرات C_N با زاویه‌ی حمله در عدد ماخ .۲/۸۶



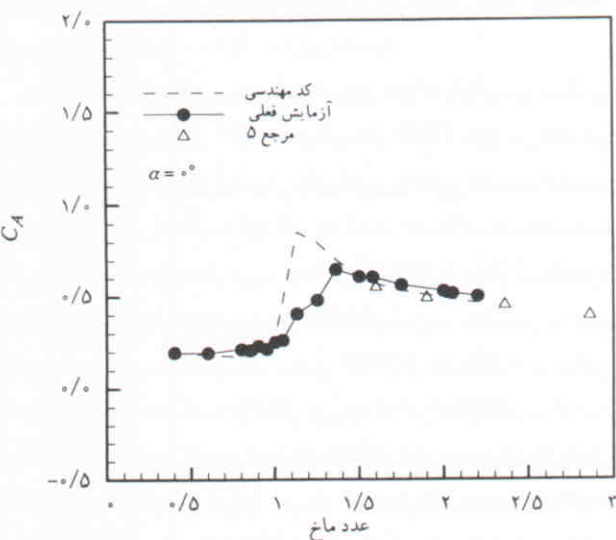
شکل ۸. تغییرات C_A با زاویه‌ی حمله در عدد ماخ .۲/۸۶



شکل ۳. تغییرات C_N با زاویه‌ی حمله.



شکل ۴. اثر عدد رینولدز بر C_A



شکل ۵. تغییرات C_A با عدد ماخ در زاویه‌ی حمله‌ی صفر.

مدل استاندارد TTCP با عدد ماخ، با وجود اختلاف در نوع دماغه، یکسان است که نشانگر شدت اثرات عدد ماخ — نسبت به اثرات شکل دماغه — روی ضربی نیروی محوری در این زاویه‌ی حمله است.

در شکل ۶ شبکه‌بندی حول TTCP نشان داده شده است. کد عددی تهیه شده قادر است با استفاده از حل عددی معادلات PNS و TLNS، ضربای آیرودینامیکی را در زوایای حمله مختلف پیش‌بینی کند. در شکل‌های ۷ و ۸ نتایج اولیه‌ی به دست آمده از این برنامه برای مدل TTCP با دیگر نتایج موجود^[۱] و کد مهندسی موجود در صنعت مقایسه شده که حاکی از دقیقت بالای آن است.

نتیجه‌گیری

آزمایشات متعددی در توپل باد سه‌منظوره‌ی دانشگاه امام حسین(ع) بر روی مدل‌های TTCP و راکت بالک خمیده در عدددهای ماخ و زوایای حمله‌ی مختلف انجام گرفته است. نتایج حاصله با اطلاعات موجود، کد مهندسی و همچنین نتایج یک کد عددی در دست توسعه مقایسه شده است. ضربای نیروی محوری و عمودی هر دو مدل در عدددهای ماخ و زوایای حمله‌ی مختلف با یکدیگر مقایسه شده و علت تغییرات نیز بررسی شده است. در آزمایشات بعدی با استفاده از بالانس‌های شش مؤلفه که از دقت بیشتری برخوردارند، کلیه‌ی ضربای در زوایای حمله‌ی مختلف اندازه‌گیری خواهد شد. با استفاده از بالانس شش مؤلفه سعی خواهد شد ضربی گشتوار جانبی موشک که پیش‌بینی آن توسط کدهای CFD و حتی اندازه‌گیری آن به وسیله‌ی توپل باد مشکل است نیز اندازه‌گیری شود. همچنین اثرات بالک‌های مختلف بررسی خواهند شد.

در شکل ۴ اثرات عدد رینولدز روی ضربی نیروی محوری (CA) این مدل در اعداد ماخ مختلف نشان داده شده است. در این شکل حساسیت ضربی نیروی محوری نسبت به تغییرات عدد رینولدز کاملاً آشکار است. با افزایش عدد رینولدز، CA کاهش می‌یابد و میزان این کاهش تابعی از عدد ماخ است. با افزایش عدد ماخ از زیر صوت به فوق صوت، موج ضربه‌ی تشکیل شده در جلوی مدل باعث افزایش نیروی محوری می‌شود. لازم به ذکر است که در عدد رینولدز و زاویه‌ی حمله‌ی یکسان، ضربی نیروی محوری برای ماخ $1/6$ بیشتر از ماخ $2/6$ است که احتمالاً علت آن جدایش موج ضربه‌ی از بدن در ماخ $1/6$ است. با افزایش عدد ماخ این موج به دماغه می‌چسبد و باعث کاهش ضربی نیروی محوری می‌شود (شکل ۴).

در شکل ۵ تغییرات ضربی نیروی محوری CA در زاویه‌ی حمله‌ی صفر با عدد ماخ به همراه نتایج حاصل از کد مهندسی و دیگر نتایج مشاهده شده،^[۴] ارائه شده است. همان‌طور که در شکل مشاهده می‌شود نتایج این آزمایش با نتایجی که فقط در عدددهای $M_{\infty} \geq 1/5$ آورده شده است،^[۵] همخوانی نسبتاً خوبی دارد. در مقایسه با نتایج کد مهندسی نیز در عدددهای ماخ زیر صوت $1/5 \leq M_{\infty} \leq M_{\infty} \leq 1/3$ همچنین اخلاف نتایج در ناحیه‌ی حدود صوت $1/3 \leq M_{\infty} \leq 1/0$ ، و به دلیل ضعف کد مهندسی در آنالیز موشک بالک خمیده است؛ در نتیجه برای آنالیز از بالک تخت با سطح تصویرشده معادل استفاده شده است. نکته‌ی دیگر این که کد مهندسی برای محاسبه‌ی نیروها از روابط نیمه‌تجربی — که در نواحی حدود صوت دقت بالایی ندارند — استفاده می‌کند. همچنین در زاویه‌ی حمله‌ی صفر، تغییرات ضربی نیروی محوری دو مدل ساخت ایران و

پانوشت‌ها

1. Wrap-Around Fins (WAF)
2. Coupling
3. A/D Board

منابع

1. Fournier, R. H., "Supersonic Aerodynamic Characteristics of a Series of Wrap-Around Fin Missile Configurations", NASA, TM, X-3461 (1997).
2. Vaughn, J. E., ET AL: "Static Aerodynamic Stability Characteristics of Bodies of Revolution With Wrap-Around Fins at Mach Numbers 1.6 to 2.86", NTIS AD-772661, (Oct. 1972).
3. Featherston, H. A., "The Aerodynamic Characteristics of Wraparound Fins", Convair/ Pomona Div., General Dynamics Corp, (Sept. 1960).
4. Stevens, F. L., and Clare, T. A., "Wrap-Around Fins: Effects on Rocket Performance", *AIAA*, pp. 74-777 (1994).
5. Vaughn, J. E., et al., "Static Aerodynamic Stability Characteristics of Bodies of Revolution With Wraparound Fins at Mach Numbers 0.5 to 1.3", NTIS AD-772683, (June, 1972).
6. Seginer, A., "The Evaluation of the Rolling Moments Induced by Wraparound Fins", *AIAA*, pp. 83-1840.
7. Wardlaw, A. B., Priolo, F. J., and Solomon, J. M., "Multiple-Zone Stratagy for Supersonic Missiles", *Journal of Spacecraft and Rockets*, 24(4), pp. 377-384, (1987).
8. Vitale, R. E., Abate, G. L., Winchenbach, G. L., and Riber, W., "Aerodynamic Test and Analysis of a Missile Configuration With Curved Fins", *AIAA*, pp. 92-4495, (Aug. 1992).
9. Edge, H. L., "Computation of the Roll Moment for a Projectile with Wrap-Around Fins", *Journal of Spacecraft and Rockets*, 31(4), pp. 615-620, (1994).
10. Abate, G. L., and Cook, T., "Analysis of Missile Configurations with Wrap-Around Fins Using Computational Fluid Dynamics",

- AIAA, pp. 93-3631, (Aug. 1993).
11. Tilmann, C. P., Huffman, R. E., Jr., Buter, T. A., and Bowersox, R. D. W., "Characterization of the Flow Structure in the Vicinity of a Wrap-Around Fin at Speeds", *AIAA*, pp. 96-2450, (June. 1996).
12. Tilmann, C. P., *Numerical and Experimental Investigation of the Flowfield near a Wrap-Around Fin*, Ph. D. Dissertation, Air Force Institute of Technology (AU), AFIT/DS/ENY/97-1, Wright Patterson AFb, OH, (March, 1997).
13. Tilmann, C. P., Buter, T. A., and Bowersox, R. D. W., "Characterization of the flowfield near a Wrap-Around Fin at mach 2.8", *AIAA*, pp. 97-0522, (Jan. 1997).
14. Peal, S. K, park, T. S, Bea, J. S., Lee, I. and Kwan, J. H. Computation of Roll Moment for Projectile with Wraparound Fins Using Euler Equation", *Journal of Spacecraft and Rocket*, 36(1), pp. 53-57 (Jan-Feb, 1999).
۱۵. محمد رضا سلطانی، حمید فاضلی، بیژن فرهانیه. «مطالعه تجربی نیروهای آیرودینامیکی یک موشک بالک خمیده در عده‌های مانع و زوایای حمله‌ی مختلف»، ششمین کنفرانس سالانه‌ی مهندسی مکانیک و سومین کنفرانس بین‌المللی مهندسی مکانیک، انجمن مهندسان مکانیک ایران، اردیبهشت ۱۳۷۷، صص. ۳۰۷-۳۱۷.
16. Bhutta, B.A. and Lewis, C.H. "Supersonic/ Hypersonic Flowfield Predictions over Typical Finned Missile Configurations", *Journal of Spacecraft and Rockets*, 30(6), pp. 674-681, (Nov-Dec. 1993).